

Игор СТОЈИЋ
Историјски институт
Београд

АНТРОПОЛОШКА АНАЛИЗА СКЕЛЕТНИХ ОСТАТАКА СА ЛОКАЛИТЕТА МАНАСТИРАК КОД РЕКОВЦА*

Апстракт: Током јула месеца 2006. године обављена су мања заштитна археолошка истраживања, којом приликом је истражено 12 гробова са локалитета Манастирак, недалеко од Рековца у селу Доња Крушевица. Антрополошком анализом је било обухваћено 11 гробова и група дислоцираних костију. За сваки скелет понаособ обављен је инвентар расположивих костију и зуба, након чега су обављена антропометријска и краниометријска мерења, процена пола и старости индивидуе у тренутку смрти, макроскопска анализа патолошких промена и трагова маркера окупационог стреса. Сви скелети припадају индивидуама мушког пола. На обрађеном материјалу уочене су појаве повреда, болести зглобова, промена узрокованих поремећајима у циркулацији и инфективних запаљења.

Key Words: Rekovac, osteological material, bone diseases, Middle Ages, church.

Увод

Локалитет Манастирак налази се недалеко од Рековца у селу Доња Крушевица. Манастирак или Мала црква је народно име за парохиску цркву посвећену св. Николи. О времену грађења нема поузданих података, али народно предање везује хронолошки ову цркву за време деспота Стефана, када наводно почетком XV века настаје заједно са манастиром Каленић. По начину градње и по свом облику црква у Манастирку припада моравској градитељској школи и веома подсећа на Каленић, тако да постоји могућност да су грађене у приближно исто време. Основа цркве рађена је у комбинацији триконхоса и сажетог уписаног крста.

* Рад настао као резултат истраживања на пројекту Министарства за науку и технолошки развој *Српске земље у раном средњем веку* (Ев. бр. 147025).

Црква у Доњој Крушевици није у потпуности сачувала свој средњовековни изглед. Крајем осамдесетих година XX века изведени су грађевински радови који су јој вратили првобитни изглед. Том приликом су изведена и мања истраживања након којих је утврђен изглед некадашње фасаде, начин на који је била покривена и украшена.

Током јула месеца 2006. године обављена су мања заштитна археолошка истраживања у трајању од 10 дана. Разлог ископавања било је дефинисање мера техничке заштите за постављање новог пода. Истраживања је спровео Завод за заштиту споменика културе Крагујевац.¹ Том приликом, унутар цркве која је обновљена у XIX веку откривена је старија средњовековна црква са некрополом, у оквиру које се налазио хришћански гроб (бр. 3) који је као прилог имао апликацију са натписом, као и оставу денара која гроб датује у крај XIV и почетак XV века. Сви истражени гробови су били слободно укопани у земљу и осим наведеног гроба (бр. 3) нису имали прилоге.²

Антрополошка анализа

Током августа 2006. године, обављена је антрополошка анализа скелетног материјала са локалитета Манастирак (манастир Св. Никола) у селу Рековац. Остеолошки материјал био је спакован у пластичне вреће. Антрополошки је било могуће обрадити скелетни материјал који се налазио у врећама које су биле означене бројевима гробова, као и неколико у којим су биле похрањене дислоциране кости. Материјал из гроба бр.1 није био доступан за антрополошку анализу. Обрада материјала обављена је у приручној лабораторији на самом локалитету, у оквиру манастира Св. Никола.

Најпре је за сваки скелет понаособ обављен инвентар расположивих костију и зуба, након чега су обављена антропометријска и краниометријска мерења, процена пола и старости индивидуе у тренутку смрти, макроскопска анализа патолошких промена и трагова маркера окупационог стреса.

¹ Екипу су сачињавали, археолог Радослав Прокић кустос Народног музеја у Крагујевцу, стручни консултант Гордана Тошић сарадник Завода за заштиту споменика Краљево, архитекта Марјана Беџ сарадник Завода за заштиту споменика Краљево и археолог Марија Марић.

² Овом приликом се посебно захваљујем колегиници Гордани Тошић на уступљеним информацијама везаним за археолошка истраживања некрополе.

Инвентар је обављен по постојећем обрасцу који је предложен у “Standards for Data Collection from Human Remains”.³ Свака кост обележена је у зависности од степена очуваности, шифрама које су дате у облику бројних вредности. Кост која је очувана више од 75%, означена је шифром “1”, чуваност која је у распону од 25% до 75% означена је шифром „2“, док шифра „3“ означава кост која је сачувана мање од 25%. Кост која недостаје обележена је шифром „0“. Бројне вредности шифара употребљене су ради стварања прецизних и упоредивих база података којима се помоћу посебних рачунарских програма може лако манипулисати.

При инвентару и анализи зуба коришћене су стандардне методе обележавања и описивања.⁴

За одређивање пола и старости у тренутку смрти комбинован је већи број различитих критеријума. Пол је одређен на основу морфолошких карактеристика карлице⁵ и лобање.⁶ На скелетима где је то било могуће примењиване су и методе одређивања пола на основу бутне кости.⁷

Старост индивидуа у тренутку смрти одређивана је помоћу неколико метода које су укључивале степен облитерације ектокранијалних шавова,⁸ морфологију пубичне симфизе,⁹ морфологију аурикуларне површине илиума¹⁰ и морфологије стерналних крајева ребара.¹¹ Код деце је ста-

³ J.E. Buikstra, D.H. Ubelaker, *Standards for Data Collection from Human Skeletal Remains*, Fayetteville, Arkansas, 1994.

⁴ Fdi= Federation Dentaire Internationale, *Two-digit system of designating teeth*, International Dental Journal, 21, 104-106; S. Hillson, *Recording Dental Caries in Archaeological Human Remains*, International Journal of Osteoarchaeology, 11, 249-289.

⁵ T. W. Phenice, *A newly developed visual method of sexing the os pubis*, American Journal of Physical Anthropology, 30, 297-301.

⁶ G. Ascádi, J. Nemeskéri, *History of Human Life Span and Mortality*, Budapest, 1970.

⁷ W.M Bass, *Human Osteology. A Laboratory and Field Manual of the Human Skeleton*, Columbia, 1987. 218-219; M. Šlaus, *Discriminant function sexing of fragmentary and complete femora from medieval sites in continental Croatia*, Opuscula Archaeologica, 21, 167-175.

⁸ R.S. Meindl, C.O. Lovejoy, *Ectocranial suture closure: A revised method of the determination of skeletal age at death based on the lateral- anterior sutures*, American Journal of Physical Anthropology, 68, 57-66.

⁹ S. Brooks, J.M. Suchey, *Skeletal age determination based on the os pubis: A comparison of the Ascády-Nemeskéri and Suchey-Brooks methods*, Human Evolution, 5, 227-238

¹⁰ C.O. Lovejoy, R.S. Meindl, T.R. Pryzbeck, and R.P. Mensforth, *Chronological metamorphosis of the auricular surface of the ilium: A new method for the determination of age at death.*, American Journal of Physical Anthropology, 68, 15-28.

рост у тренутку смрти одређивана према степену окоштавања епифиза са дијафизама, дужине и ширине дијафиза дугих костију и степену ницања и развоја млечних и сталних зуба.¹² За сваки скелет понаособ израчуната је телесна висина,¹³ посматрани су трагови мускулаторно скелетних маркера стреса¹⁴ и евентуално присуство патолошких промена.¹⁵

Резултати

Скелет бр.2

Одрасла индивидуа.

Присутне кости: фрагменти оба фемура, фрагментоване обе тибиге, леви талус.

Нема елемената за сигурно одређивање пола.

Нема елемената за прецизније одређивање старости индивидуе у тренутку смрти.

На присутним костима нису уочене патолошко трауматске промене.

Скелет бр. 3

Одрасла индивидуа.

Присутне кости лобање фрагментована мандибула.

Анализа зуба:

¹¹ M.Y. Işcan, S.R. Loth, R.K. Wright, *Age estimation from the rib by phase analysis: White males*, Journal of Forensic Science, 29, 1094-1104; M.Y. Işcan, S.R. Loth, R.K. Wright, *Age estimation from the rib by phase analysis: White females*, Journal of Forensic Science, 30, 853-863.

¹² T.W. Mckern, T.D. Stewart, *Skeletal Age Changes in Young American Males*, Natick, MA, 1957; W.M Bass, *Human Osteology. A Laboratory and Field Manual of the Human Skeleton*. Columbia, 1987; D.H. Ubelaker, *Human Skeletal Remains: Excavation, Analysis, Interpretation*, Washington DC, 1989; D. H. Ubelaker, *The Estimation of Age at Death from Immature Human Bone, in Age Markers in the Human Skeleton*, by M.Y. Işcan, Springfield, Illinois, 1989. 55-70.

¹³ M. Trotter, G.C. Gleser, *Estimation of stature from long bones of American Whites and Negroes*, American Journal of Physical Anthropology, 10, 463-514.

¹⁴ L.Capasso, K.A.R. Kennedy, C.A. Wilczak, *Atlas of Occupational Markers on Human Remains.*, Teramo, 1999.

¹⁵ D.J. Orthner, W.J.G. Putschar, *Identification of Pathological Conditions in Human Skeletal Remains*, Washington, DC, 1981; A. C. Aufderheide, C. Rodrigues - Martin, *The Cambridge Encyclopedia of Human Paleopathology*, Cambridge, 1998.



Слика 1. гроб бр.3: велики каријес

максила: присутни 12-15, 17, 21, 24-27; заживотно изгубљен зуб 16; постмортално изгубљени 11, 22, 23; хиподонција 18 и 28;

мандибула: присутни 31, 33, 34, 35, 42-45; заживотно изгубљен 41; постмортално изгубљен 32.

Патолошки налаз зуба: огроман каријес на 45 (слика 1), уочавају се трагови парадентопатије и зубног каменца на свим присутним зубима.

Присутне кости посткранијалног скелета: фрагментован сакрум, обе илиачне кости, обе ишиадичне кости, 2 торакална и 4 лумбална пршљена, фрагментован леви хумерус, оба радијуса, обе улне, оба фемура, обе тибие, обе фрагментоване фибуле, фрагментован леви талус, фрагментован леви калканеус, 3 карпалне кости, 4 метакарпалне, 6 фаланги костију шака.

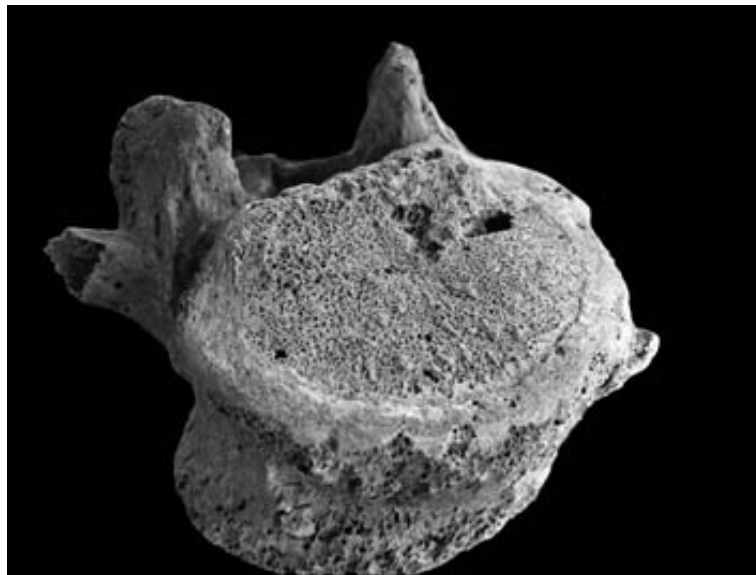
На мушки пол индивидуе указивале су секундарне одлике пола на лобањи и карлици.

Нема елемената за прецизније одређивање старости индивидуе у тренутку смрти.

Скелетне мере (у центиметрима) и индекси: на посткранијалном делу скелета било је могуће измерити, максимални дијаметар средине тела хумеруса 2,3 и минимални дијаметар средине тела хумеруса 1,7 помоћу којих је одређен Индекс попречног пресека хумеруса 73,91; максималну дужину радијуса 25,2 антериорно – постериорни дијаметар средине тела радијуса 1,3 медио - латерални дијаметар средине тела радијуса 1,6; макси-

малну дужину улне 27,7 антериорно – постериорни дијаметар 1,4 медијално – латерални дијаметар 1,9 физиолошку дужину улне 24,8 минимални обим тела улне 3,6 помоћу којих је израчунат Калибер индекс улне 14,51; максималну антериорну ширину сакрума 11,4 максимални трансферзални дијаметар базе сакрума 5,7; максималну дужину фемура 48,5 на основу које је израчунат телесни раст $178,05 \pm 3,94$, бикондиларну ширину фемура 48,1 максимални дијаметар главе фемура 5,1 антериорно – постериорни дијаметар у нивоу испод малог трохантера 2,5 медијално – латерални дијаметар у нивоу испод малог трохантера 3,3 помоћу којих је одређен Платимерични индекс 75,75 који описује фемур као Платимер као и Индекс робустицитета фемура 12,05 антериорно – постериорни дијаметар средине тела фемура 3,0 медијално – латерални дијаметар средине тела фемура 2,8 помоћу којих је израчунат Пиластрични индекс 107,14 обим средине тела фемура 9,1; максимални дијаметар у ниву нутриционог отвора 3,6 медијално – латерални дијаметар у нивоу нутриционог отвора 2,3 помоћу којих је израчунат Платикнемични индекс 63,88 који описује тибију као Мезокнемичну, обим тела у нивоу нутриционог отвора 9,3.

Патолошки налаз: на торакалним пршљеновима уочени су Шморлови дефекти (Schmorl's node) праћених слабим остеофитима (слика 2).



Слика 2. гроб бр.3: остеофити на торакалном пршљену

Скелет бр.4

Одрасла индивидуа.

Присутне кости лобање: фрагментована фронтална, обе паријеталне, фрагмент окципиталне.

Анализа зуба:

максила: нема присутних зуба

мандибула: нема присутних зуба

Присутне кости посткранијалног скелета: проксимална половина десног фемура, дистални део леве фибуле.

Нема елемената за сигурно одређивање пола.

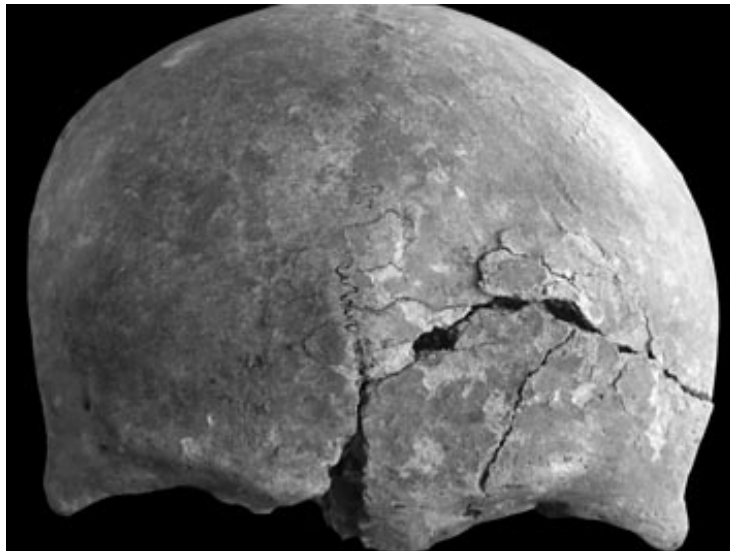
Нема елемената за прецизније одређивање старости индивидуе у тренутку смрти.

На присутним костима нису уочене патолошко - трауматске промене.

Скелет бр. 5

Одрасла индивидуа.

Присутне кости лобање: фронтална (слика 3), обе паријеталне, фрагмент окципиталне, обе темпоралне, обе зигоматичне, мандибула.



Слика 3. гроб бр. 3: метопизам

Анализа зуба:

максила: нема присутних зуба.

мандибула: присутни 43 и 44; постмортално изгубљени 31-38, 41, 42, 45; заживотно изгубљени 46- 48.

Патолошки налаз зуба: на 44 зубни каменац.

Присутне кости посткранијалног скелета: обе клавикуле, обе пателе, фрагментован сакрум, оба илиума, оба ишиума, лева пубична, десет торакалних и пет лумбалних пршљенова, тринаест фрагментованих ребара, оба хумеруса, оба радијуса, обе улне, оба фемура, обе тибије, обе фрагментоване фибуле, оба талуса, оба калканеуса, 4 карпалне кости, 8 метакарпалних костију, 10 фаланги костију ручја, 3 тарзалне кости, 6 метатарзалних костију.

На мушки пол индивидуе указивале су секундарне одлике пола на лобањи и карлици.

Према сраслости лобањских шавова и морфологије костију карлице, ради се о индивидуи чија је старост у тренутку смрти износила око 45 година.

Скелетне мере (у цм) и индекси: на кранијалном делу скелета било је могуће измерити максималну ширину лобање 15,4 минималну ширину чела 11,4 максималну ширину чела 11,6 висину мастоидног наставка 3,2 висину браде 3,5 висину тела мандибуле 3,4 и дебљину тела мандибуле 1,2 помоћу којих је израчунат Индекс робустицитета мандибуле 35,29 бигонијалну ширину мандибуле 11,1 помоћу које је израчунат Фронтомандибуларни индекс 102,70 који описује лобању као Мезомандибуларну минималну ширину гране мандибуле 3,2 дужину мандибуле 7,2.

На посткранијалном делу скелета било је могуће измерити максималну дужину клавикуле 15,0, антериорно- постериорни дијаметар средине тела клавикуле 1,1 супериорно инфериорни дијаметар средине тела клавикуле 1,4 максималну дужину хумеруса 34,2 вертикални дијаметар главе хумеруса 5,1 максимални дијаметар средине тела хумеруса 2,5 и минимални дијаметар средине тела хумеруса 2,2 помоћу којих је одређен Индекс попречног пресека хумеруса 88,00; максималну дужину радијуса 25,0 антериорно – постериорни дијаметар средине тела радијуса 1,4 медијално – латерални дијаметар средине тела радијуса 1,7; максималну дужину улне 26,9 антериорно – постериорни дијаметар улне 1,8 медијално – латерални дијаметар улне 1,5, физиолошку дужину улне 23,9 минимални обим тела улне 3,8; антериорно супериорну ширину сакрума 11,8 максимални трансферзални дијаметар базе сакрума 4,9; максималну дужину фемура 49,6 на основу чега је израчунат телесни раст $180.60 \pm 3,94$ цм, бикондиларну дужину фемура 49,2 епикондиларну ширину фемура 8,7 максимални дијаме-

тар главе фемура 5,2 anteriорно – posteriорни дијаметар у нивоу испод малог трохантера 3,0 медијално – латерални дијаметар у нивоу испод малог трохантера 3,7 помоћу којих је одређен Платимерички индекс 81,08 који описује фемур као Платимер као и Индекс робустицитета фемура 13,61 anteriорно – posteriорни дијаметар средине тела фемура 3,2 медијално – латерални дијаметар средине тела фемура 3,0 помоћу којих је израчунат Пиластрични индекс 106,66 обим средине тела фемура 9,6; максималну ширину проксималне епифизе 7,9 максимални дијаметар у нивоу нутриционог отвора 3,9 медијално – латерални дијаметар у нивоу нутриционог отвора 2,8 помоћу којих је израчунат Платикнемични индекс 71,79 који описује тибију као Еурикнемичну, обим тела у нивоу форамен нутрициорум 10,2 и максимални дијаметар средине тела фибуле 1,8.

Патолошки налаз: На десној очној орбити уочен је форамен; на торакалним и лумбалним пршљеновима уочени су Шморлови дефекти (Schmorl's node); Некроза глава фемура (слика 4); Артритичне промене уочене су на ивицама ацетабулума као и на проксималним фалангама костију шака.



Слика 4. гроб бр. 5: некроза главе фемура

Скелет бр. 6

Под овим бројем уочене су две индивидуе.

(А) Одрасла индивидуа мушког пола.

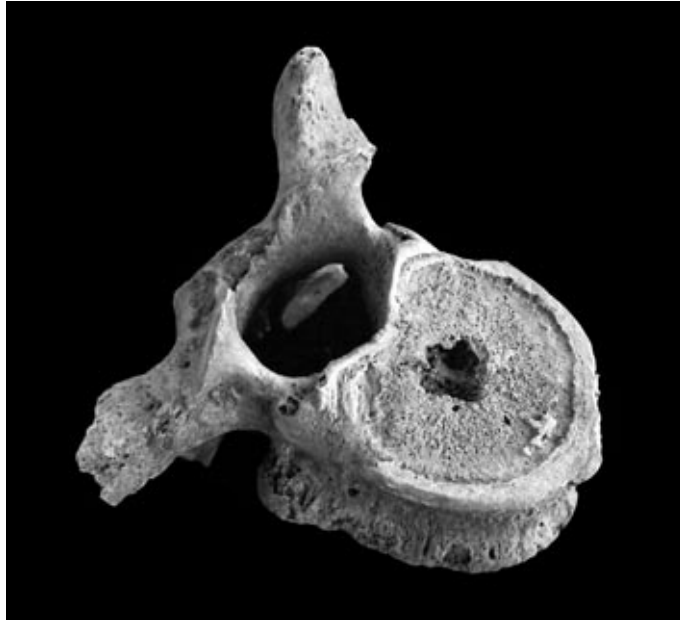
Присутне кости лобање: фрагментована лева паријетална, фрагментована окципитална, фрагментоване обе темпоралне, фрагментована максила.

Присутне кости посткранијалног скелета: обе клавикуле (фраг.), обе скапуле (фраг.), лева патела, сакрум (фраг.), оба илиума (фраг.), оба ишиума (леви фраг.), један цервикални пршљен, 11 торакалних пршљенова, 2 лумбална пршљена, 9 ребара (фраг.), оба хумеруса (фраг.), оба радијуса (фраг.), обе улне, оба фемура, 5 метакарпалних костију.

На мушки пол индивидуе указују индикатори пола на костима карлице као и општи робустицитет скелета.

Према индикаторима старости који се налазе на костима карлице, ради се о индивидуи чија је старост у тренутку смрти износила између 30 и 40 година.

На посткранијалном делу скелета било је могуће измерити антериорно- постериорни дијаметар средине тела клавикуле 1,1 супериорно инфериорни дијаметар средине тела клавикуле 1,6, максималну дужину хумеруса 35,0, епикондиларну ширину хумеруса 6,9, максимални дијаметар средине тела хумеруса 2,5 и минимални дијаметар средине тела хумеруса 2,2 помоћу којих је одређен Индекс попречног пресека хумеруса 88,00; антериорно – постериорни дијаметар средине тела радијуса 1,4 медијално – латерални дијаметар средине тела радијуса 1,5; максималну дужину улне 29,3, антериорно – постериорни дијаметар улне 1,5, медијално – латерални дијаметар улне 1,38, физиолошку дужину улне 26,6, минимални обим тела улне 4,5; максимални трансферзални дијаметар базе сакрума 5,5; максималну дужину фемура 51,2 на основу чега је израчунат телесни раст 184,31 ± 3,94 цм, бикондиларну дужину фемура 50,6 епикондиларну ширину фемура 9,1 максимални дијаметар главе фемура 5,5 антериорно – постериорни дијаметар у нивоу испод малог трохантера 3,4 медијално – латерални дијаметар у нивоу испод малог трохантера 3,4 помоћу којих је одређен Платимерични индекс 100,00 који описује фемур на граници између Еуримера и Стеномера као и Индекс робустицитета фемура 13,43 антериорно – постериорни дијаметар средине тела фемура 3,3 медијално – латерални дијаметар средине тела фемура 3,1 помоћу којих је израчунат Пиластрични индекс 106,45 обим средине тела фемура 10,1,6.



Слика 5. гроб бр. 6а: Шморлов дефект (*Schmorl's node*)

Патолошки налаз: уочени су Шморлови дефекти (слика 5) на торакалним и лумбалним пршљеновима.

(Б) Одрасла индивидуа.

Присутне кости. Дијафизе оба хумеруса, дијафизе оба радијуса, дијафизе обе улне. Фрагмент левог ацетабулума.

Напомена: Анализом зуба утврђено је да су присутни зуби 15, 16, 17, 27, 28, 29, 41, 42, 43 који су се налазили у алвеолама максиле односно мандибуле, а за које нје било могуће са сигурношћу одредити припадају ли индивидуи А или Б. Ван алвеола присутно је још 3 инцизива, 7 премолара и 4 молара.

Скелет бр.7

Одрасла индивидуа.

Присутне кости лобање: фрагментована окципитална кост

Анализа зуба:

максила: нема присутних зуба.

мандибула: нема присутних зуба.

Присутне кости посткранијалног скелета: фрагментован сакрум, оба фрагментована хумеруса, фрагментован десни радијус, фрагментована десна улна, оба фемура, обе тибије, фрагментована лева фибула.

Нема елемената за сигурно одређивање пола. Према неким показатељима вероватно се ради о особи мушког пола.

Нема елемената за прецизније одређивање старосне категорије у тренутку смрти.

Скелетне мере (у цм) и индекси: на посткранијалном делу скелета било је могуће измерити максимални дијаметар средине тела хумеруса 2,2 минимални дијаметар средине тела хумеруса 1,8 на основу којих је одређен Индекс попречног пресека хумеруса 81,81; антериорно-постериорни дијаметар средине тела радијуса 1,2 медијално-латерални дијаметар средине тела радијуса 1,8; антериорно-постериорни дијаметар улне 1,8, медијално –латерални дијаметар улне 1,3 минимални обим тела улне 4,2; максималну дужину фемура 47,4 на основу чега је израчунат телесни раст 175,49 ± 3,72 цм, бикондиларну дужину фемура 46,6 максимални дијаметар главе фемура 5,0 антериорно – постериорни дијаметар у нивоу испод малог трохантера 3,0 медијално – латерални дијаметар у нивоу испод малог трохантера 3,2 помоћу којих је одређен Платимерички индекс 93,75 који описује фемур као Еуример као и Индекс робустицитета фемура 13,08 антериорно – постериорни дијаметар средине тела фемура 3,0 медијално – латерални дијаметар средине тела фемура 2,6 помоћу којих је израчунат Пиластрични индекс 115,38 обим средине тела фемура 8,8; максимални дијаметар у нивоу нутриционог отвора 3,5 медијално – латерални дијаметар у нивоу нутриционог отвора 2,6 помоћу којих је израчунат Платикнемични индекс 74,28 који описује тибију као Еурикнемичну; обим тела у нивоу нутриционог отвора 10,0.

На присутним костима нема патолошко - трауматских промена.

Скелет бр. 8

Одрасла индивидуа.

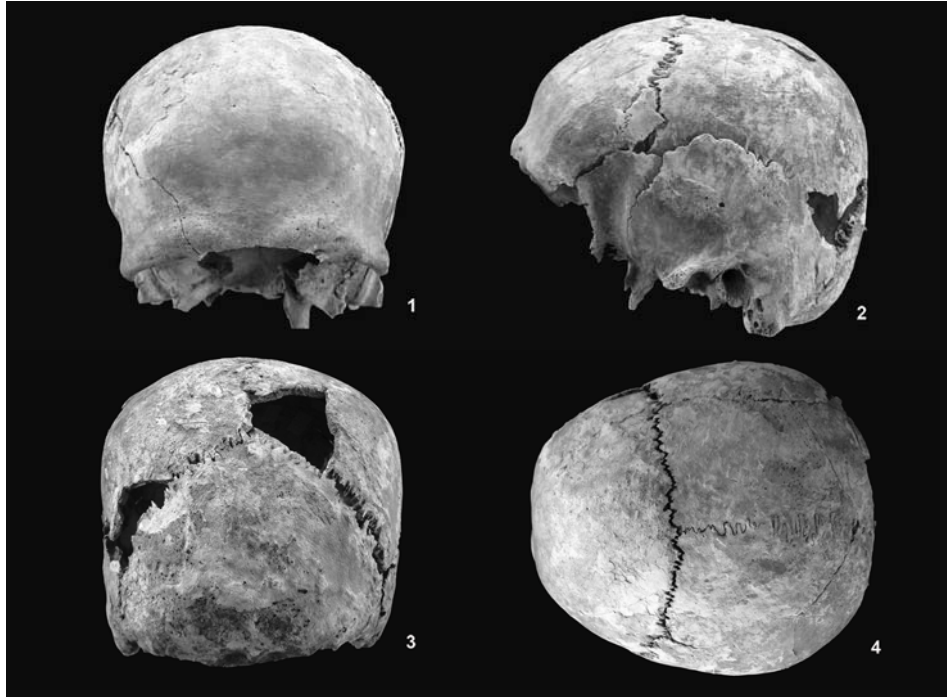
Присутне кости лобање: фрагментована фронтална, обе паријеталне, фрагментована окципитална, фрагментована сфеноидна (слика 6).

Анализа зуба:

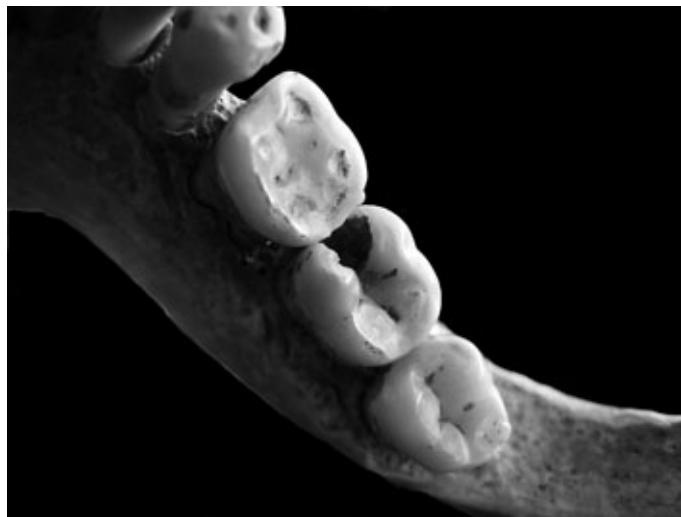
максила: присутни 27 и 28.

мандибула: присутни 35-38, 42-47, 48; постмортално изгубљени 31-34, 41; заживотно изгубљени 45, 46.

Патолошки налаз зуба: каријес на 47 (слика 7).



Слика 6. гроб бр. 8: лобањске пројекције: 1. *norma frontalis* 2. *norma lateralis*
3. *norma occipitalis* 4. *norma verticalis*



Слика 7. гроб бр.8: каријес

Присутне кости посткранијалног скелета: обе клавикуле, фрагментоване скапуле, сакрум, оба илиума, оба ишиума, 6 цервикалних пршљенова, 11 торакалних пршљенова, 5 лумбалних пршљенова, оба прва ребра, 17 делова осталих ребара, оба хумеруса, оба радијуса, обе улне, оба фемура, две карпалне кости, 10 метакарпалних и 11 фаланги.

На мушки пол индивидуе указују индикатори пола на костима карлице и лобање као и општи робустицитет скелета.

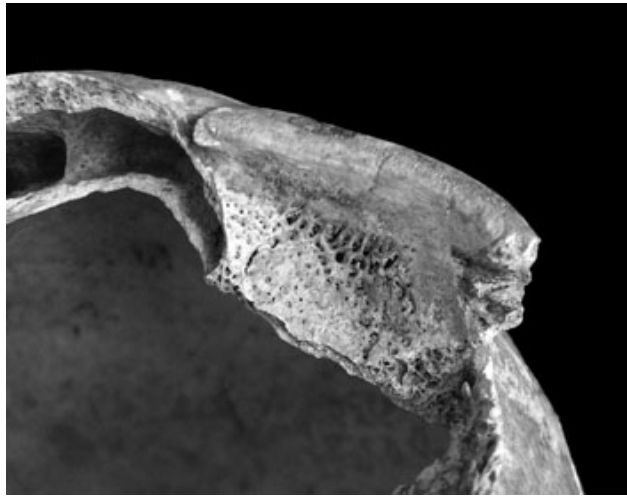
Према сраслости лобањских шавова и морфологије костију карлице, ради се о индивидуи чија је старост у тренутку смрти износила око 40 година.

Скелетне мере (у цм) и индекси: на кранијалном делу скелета било је могуће измерити максималну дужину лобање 18,2 и ширину 14,8 на основу чега је израчунат Кранијални индекс који износи 81,31 који је описује као Брахиокрану, биаурикуларну ширину 12,4, минималну ширину чела 9,8 помоћу које је израчунат Фронтотријетални индекс 66,21 који описује лобању као Метриометопичну, максималну ширину чела 10,5 висину мастоидног наставка 3,0 висину браде 2,9 висину тела мандибуле 3,3 и дебљину тела мандибуле 1,3 помоћу којих је израчунат Индекс робустицитета мандибуле 39,39 минималну ширину гране мандибуле 3,1 максималну висину гране мандибуле 4,3 дужину мандибуле 6,8.

На посткранијалном делу скелета било је могуће измерити дужину клавикуле 15,5, антериорно- постериорни дијаметар средине тела клавикуле 1,3 супериорно инфериорни дијаметар средине тела клавикуле 1,5; максималну дужину хумеруса 33,7, епикондиларну ширину хумеруса 6,5 вертикални дијаметар главе хумеруса 4,9, максимални дијаметар средине тела хумеруса 2,3 и минимални дијаметар средине тела хумеруса 1,9 помоћу којих је одређен Индекс попречног пресека хумеруса 82,60; максималну дужину радијуса 26,1 антериорно – постериорни дијаметар средине тела радијуса 1,3 медијално – латерални дијаметар средине тела радијуса 1,7; максималну дужину улне 27,8, антериорно – постериорни дијаметар улне 1,3 медијално – латерални дијаметар улне 1,7 физиолошку дужину улне 25,1 минимални обим тела улне 4,1; антериорна дужина сакрума 11,3 антериорно- супериорна ширина сакрума 12,0 максимални трансферзални дијаметар базе сакрума 5,1; висину карлице 22,8 ширину илиачне кости 16,0 дужина ишиадичне кости 8,7; максималну дужину фемура 49,1 на основу чега је израчунат телесни раст $179,44 \pm 3,94$ цм, бикондиларну дужину фемура 48,5 епикондиларну ширину фемура 8,6 максимални дијаметар главе фемура 4,9 антериорно – постериорни дијаметар у нивоу испод малог трохантера 3,0 медијално – латерални дијаметар у нивоу испод малог трохантера 3,4 помоћу којих је одређен Платимерички индекс 88,23 који описује

фемур као Еуример као и Индекс робустицитета фемура 13,19 антериорно – постериорни дијаметар средине тела фемура 3,2 медијално – латерални дијаметар средине тела фемура 2,8 помоћу којих је израчунат Пиластрични индекс 114,28 обим средине тела фемура 9,4.

Патолошки налаз: уочена је појава *cribra orbitalia* билатерално (слика 8), фрактура другог десног ребра (слика 9), благо наглашени остеофити на торакалним пршљеновима.



Слика 8. гроб бр.8: *cribra orbitaliae*



Слика 9. гроб бр. 8: фрактура ребра



Слика 10. гроб бр. 9: лобањске пројекције: 1. *norma frontalis* 2. *norma lateralis*
3. *norma occipitalis* 4. *norma verticalis*

Скелет бр. 9

Одрасла индивидуа.

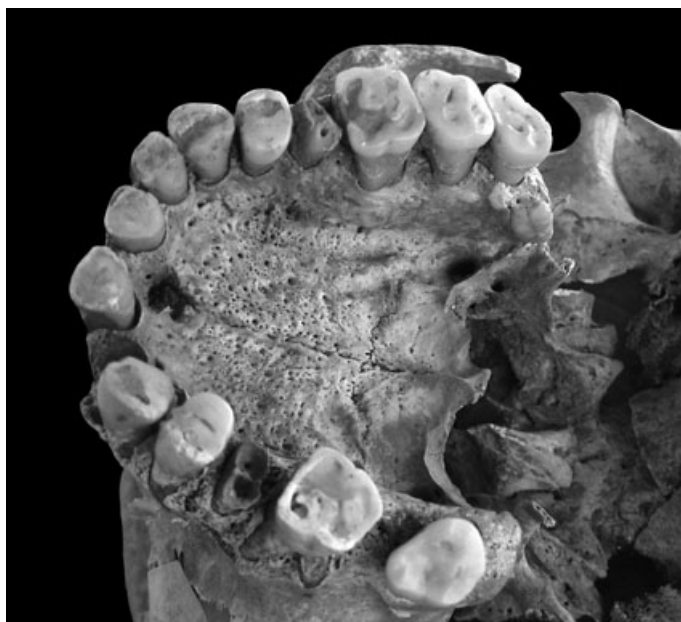
Присутне кости лобање: фронтална, обе паријеталне, обе темпоралне, окципитална, назална, обе свеноидне, обе зигоматичне, максила, обе палатиналне, мандибула и вомер (слика 10).

Анализа зуба:

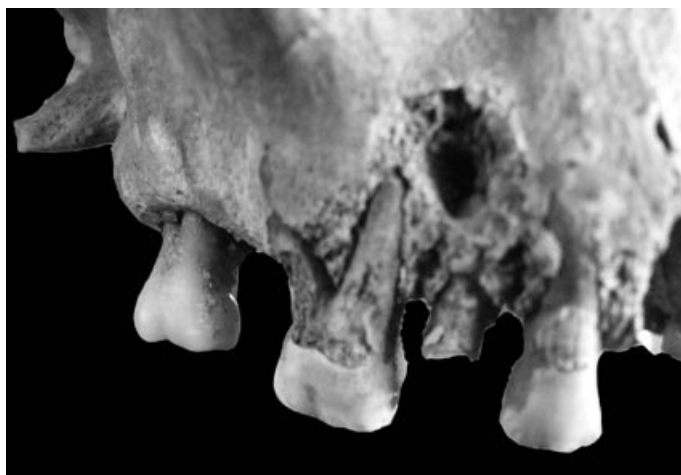
максила: присутни 11, 13-16, 18, 21-28; постмортално изгубљен 12; заживотно изгубљен 17.

мандибула: присутни сви зуби..

Патолошки налаз зуба: огроман каријес и периапикални абсцес на 15, огроман каријес на 25 (слика 11) (слика 12). Уочени трагови парадентопатије. Сви зуби јако абрадирани.



Слика 11. гроб бр.9: велики каријеси на 15 и 25



Слика 12. гроб бр. 9: велики каријес и периапикални абсцес

Присутне кости посткранијалног скелета: обе клавикуле, фрагментована лева скапула, сакрум, обе илиума, лева кост ишиума, обе пубичне, прва два цервикална пршљена, три остала цервикална пршљена, десети једанаести и дванаести торакални пршљен, пет лумбалних пршљенова, први и други пар ребара, седам фрагментованих осталих ребара, леви хумерус, дистални крајак десног хумеруса, оба радијуса, обе улне, оба фемура, две карпалне кости, осам метакарпалних костију, 12 фаланги.

На мушки пол индивидуе указују индикатори пола на костима карлице и лобање као и општи робустицитет скелета.

Према сраслости лобањских шавова и индикаторима старости које се налазе на костима карлице, ради се о индивидуи чија је старост у тренутку смрти износила између 40 и 50 година.

Скелетне мере (у цм) и индекси: на кранијалном делу скелета било је могуће измерити максималну дужину лобање 19,4 и ширину 15,0 на основу чега је израчунат Кранијални индекс који износи 77,31 који је описује као Мезокрану, висину лобање базион – брегма 13,9 на основу чега је измерен Висинско – дужински индекс 71,64 који описује лобању као Ортокрану, Висинско – ширински 92,66 који је описује као Метриокрану, као и Средњивисински 80,81 који је описује као Мезоземичну, дужину базе лобање 10,1 максило – алвеоларну ширину 6,4 и максило – алвеоларну дужину 5,3 помоћу којих је израчунат Максилоалвеоларни индекс 120,75 који описује лобању као Брахиурану, биаурикуларну ширину 13,4 висину горњег дела лица 7,4 помоћу које је израчунат Горњи фацијални индекс 56,06 који описује лобању као Лептену, минималну ширину чела 10,8 помоћу које је израчунат Фронтотријетални индекс 72,00 који описује лобању као Еуриметопичну, максималну ширину чела 11,6, висину носа 4,9 и ширину носа 3,0 помоћу којих је израчунат Назални индекс 61,22 који описује лобању као Платирину, ширину орбите 4,4 и висину орбите 3,4 помоћу којих је израчунат Орбитални индекс 77,27 који описује лобању као Мезоконичну, биорбиталну ширину 10,7 интерорбиталну ширину 2,0 дужину форамен магнума 4,0, ширину форамен магнума 3,1 висину браде 3,9 висину тела мандибуле 3,6 и дебљину тела мандибуле 1,2 помоћу којих је израчунат Индекс робустицитета мандибуле 33,33 бигонијалну ширину мандибуле 11,0 минималну ширину гране мандибуле 3,1 максималну висину гране мандибуле 6,6 дужину мандибуле 8,3.

На посткранијалном делу скелета било је могуће измерити дужину клавикуле 14,7, anteriорно-постериорни дијаметар средине тела клавикуле 1,3 супериорно инфериорни дијаметар средине тела клавикуле 1,2; максималну дужину хумеруса 33,2 епикондиларну ширину хумеруса 7,1, вертикални дијаметар главе хумеруса 4,7 максимални дијаметар средине тела

хумеруса 2,5 и минимални дијаметар средине тела хумеруса 2,2 помоћу којих је одређен Индекс попречног пресека хумеруса 88,00; максималну дужину радијуса 25,9 антериорно – постериорни дијаметар средине тела радијуса 1,4 медијално – латерални дијаметар средине тела радијуса 1,7; максималну дужину улне 28,3 антериорно – постериорни дијаметар улне 1,4 медијално – латерални дијаметар улне 1,9 физиолошку дужину улне 25,7 минимални обим тела улне 3,9; антериорна дужина сакрума 13,5 антериорно- супериорна ширина сакрума 12,4 максимални трансферзални дијаметар базе сакрума 5,9; висину карлице 23,7 ширину илиачне кости 17,0 дужина пубичне кости 9,2 дужина ишиадичне кости 9,1; максималну дужину фемура 49,3 на основу чега је израчунат телесни раст $179,91 \pm 3,94$ цм, бикондиларну дужину фемура 48,9 епикондиларну ширину фемура 8,4 максимални дијаметар главе фемура 5,0 антериорно – постериорни дијаметар у нивоу испод малог трохантера 3,2 медијално – латерални дијаметар у нивоу испод малог трохантера 3,7 помоћу којих је одређен Платимерички индекс 86,48 који описује фемур као Еуример као и Индекс робустицитета фемура 14,11 антериорно – постериорни дијаметар средине тела фемура 3,4 медијално – латерални дијаметар средине тела фемура 3,0 помоћу којих је израчунат Пиластрични индекс 113,33 обим средине тела фемура 10,1.

Патолошки налаз: на торакалним пршљеновима уочени су Шморлови дефекти (слика 13), и остеофити по ивицама тела пршљенова. На проксималној половини левог фемура констатовано је задебљање тела, узроковано вероватно сраслом трауматском повредом (слика 14). Уочени трагови артритичних остеофита на ацетабулима и појединим карпалним фалангама.

Скелет бр. 10

Одрасла индивидуа.

Присутне кости лобање: фрагмент десне паријеталне кости. Анализа зуба:

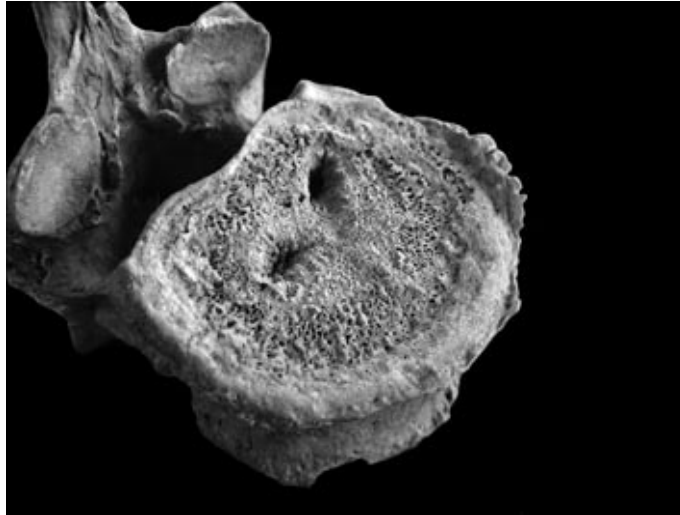
максила: нема присутних зуба.

мандибула: нема присутних зуба.

Присутне кости посткранијалног скелета: обе тибије, фрагменти леве и десне фибуле, оба талуса, оба калканеуса, десна навикуларна, десна кубоидна, лева куниформе III, обе метатарзалне #1, десна метатарзална #3 кост.

Нема елемената за сигурно одређивање пола.

Нема елемената за прецизније одређивање старосне категорије у тренутку смрти.



Слика 13. гроб бр. 9: Шморлов дефект и остеофити на торакалном приљену

Скелетне мере (у цм) и индекси: није било могуће узети ни једну скелетну меру.

Патолошки налаз: уочена патолошка промена на левој тибиви и фибули, остеомијелитис (можда сифилисни остеомијелитис?)(слика 15).

Скелет бр. 11

Одрасла индивидуа.

Присутне кости лобање: обе паријеталне (фраг.), фрагмент окципиталне.

Анализа зуба:

максила: нема присутних зуба.

мандибула: нема присутних зуба.

Присутне кости посткранијалног скелета: десна тибивија, десна фибула.

Нема елемената за сигурно одређивање пола.

Нема елемената за прецизније одређивање старосне категорије у тренутку смрти.

Скелетне мере (у цм) и индекси: на посткранијалном делу скелета било је могуће измерити дужину тибивије 45,3 максималну ширину проксималне епифизе 7,8 максимални дијаметар у ниву нутриционог отвора 5,4



Слика 14. гроб бр. 9: добро зарасла траума на десном фемуру

медијално – латерални дијаметар у нивоу нутриционог отвора 3,5 помоћу којих је израчунат Платикнемични индекс 77,14 који описује тибију као Еурикнемичну обим тела у нивоу нутриционог отвора 9,7 и максимални дијаметар средине тела фибуле 1,6.

Патолошки налаз: На присутним костима нема патолошко - трауматских промена.



Слика 15. гроб бр. 10: остеомијелитис на левој тибии

Скелет бр. 12

Одрасла индивидуа.

Присутне кости лобање: фронтална, обе паријеталне (фраг.), окципитална (фраг.), обе темпоралне (фраг.), назална (фраг.), обе лакрималне (фраг.), максила (фраг.), мандибула.

Анализа зуба:

максила: присутни 12-14; постмортално изгубљени 11, 15, 21-23;

мандибула: присутни 33-35, 36, 44-47; постмортално изгубљени 31, 32, 41-43, 48; заживотно изгубљени 36, 37.

Патолошки налаз зуба: каријес на 14 мезијално, 47 дистално. Сви зуби у великој мери абрадирали.

Присутне кости посткранијалног скелета: обе клавикуле, сакрум, оба илиума (фраг.), оба ишиума, 6 цервикалних пршљенова (4 фраг.), 10 торакалних пршљенова (8 фраг.), 3 лумбална пршљена, 22 фрагмента ребара, оба хумеруса (фраг.), оба радијуса, обе улне (фраг.), оба фемура, обе тибиије, обе фибуле (фраг.), оба талуса, оба калканеуса, 5 метакарпалних, једна фаланга ручја, две тарсалне, 8 метатарзалних, једна фаланга ножја.

На мушки пол индивидуе указују индикатори пола на костима карлице и лобање као и општи робустицитет скелета.

Према сраслости лобањских шавова и индикаторима старости које се налазе на костима карлице, ради се о индивидуи чија је старост у тренутку смрти износила око 35-40 година.

Скелетне мере (у цм) и индекси: на кранијалном делу скелета било је могуће измерити висину тела мандибуле 3,0 висину браде 2,8 висину тела мандибуле 3,2 дебљину тела мандибуле 1,0 помоћу којих је израчунат Индекс робустицитета мандибуле 31,35, минималну ширину гране мандибуле 3,1 максималну ширину гране мандибуле 4,3 на основу које је израчунат Индекс гране мандибуле 52,54 максималну висину гране мандибуле 5,9 дужину мандибуле 7,9.

На посткранијалном делу скелета било је могуће измерити антериорно- постериорни дијаметар средине тела клавикуле 1,1 супериорно инфериорни дијаметар средине тела клавикуле 1,1; епикондиларну ширину хумеруса 5,9 вертикални дијаметар главе хумеруса 5,0, максимални дијаметар средине тела хумеруса 2,2 и минимални дијаметар средине тела хумеруса 1,8 помоћу којих је одређен Индекс попречног пресека хумеруса 81,81; максималну дужину радијуса 24,0 антериорно – постериорни дијаметар средине тела радијуса 1,1 медијално – латерални дијаметар средине тела радијуса 1,5; антериорно – постериорни дијаметар улне 1,3 медијално – латерални дијаметар улне 1,8; антериорна дужина сакрума 11,1 максимални трансферзални дијаметар базе сакрума 4,8; висину карлице 23,0 дужину ишиадичне кости 9,3; максималну дужину фемура 47,3 на основу чега је израчунат телесни раст $175,26 \pm 3,94$ цм, бикондиларну дужину фемура 47,0 епикондиларну ширину фемура 8,4 максимални дијаметар главе фемура 5,1 антериорно – постериорни дијаметар у нивоу испод малог трохантера 2,9 медијално – латерални дијаметар у нивоу испод малог трохантера 3,6 помоћу којих је одређен Платимерички индекс 80,55 који описује фемур као Платимер као и Индекс робустицитета фемура 13,83 антериорно – постериорни дијаметар средине тела фемура 2,9 медијално – латерални дијаметар средине тела фемура 2,9 помоћу којих је израчунат Пиластрични индекс 100,00 обим средине тела фемура 9,4; дужину тибије 37,5 максималну ширину дисталне епифизе 5,4 максимални дијаметар у нивоу нутриционог отвора 3,8 медијално – латерални дијаметар у нивоу нутриционог отвора 2,5 помоћу којих је израчунат Платикнемични индекс 65,79 који описује тибију као Мезокнемичну обим тела у нивоу нутриционог отвора 9,9 и максимални дијаметар средине тела фибуле 1,6; максималну дужину калканеуса 8,0 и средњу ширину калканеуса 5,2.

Патолошки налаз: на торакалним пршљеновима уочени су Шморлови дефекти.

Дислоциране кости

Поред горе наведеног скелетног материјала који је био јасно раздвојен по бројевима гробова, одређен број костију био је спакован у врећу са ознаком дислоциране кости. Већи део тог материјала засигурно припада скелетима који су добили бројеве по гробовима из којих су извађени, међутим није се са сигурношћу могао повезати са истим тако да ће бити дато сумарно онако како је и био спакован пре обраде.

Присутно је најмање шест лобања код којих је већину кранијалних костију било могуће спојити у анатомску целину. Лобање се означене абecedним словима од А до Ф.

Лобања А- присутне су следеће кости: фронтална (фраг.), обе паријеталне (фраг.) и окципитална (фраг.). На лобањи је било могуће измерити дужину 17,2 цм и ширину 14,3 цм лобање, помоћу којих је израчунат Кранијални индекс 83,13 који је описује као Брахиокрану. Сама очуваност костију је јако слаба тако да према показатељима пола на лобањи није било могуће са сигурношћу одредити пол индивидуе. Такође услед еродираниости костију није било могуће према сраслости лобањских шавова одредити старост индивидуе.

Лобања Б – присутни су само део десне паријеталне кости и део окципиталне кости. У ламбдоидном шаву уочавају се сутуралне кости. Према израженој протуберанцији окципиталис екстерна могло би се претпоставити да се ради о индивидуу мушког пола.

Лобања Ц – присутна је фрагментована фронтална кост и већи део десне паријеталне кости.

Лобања Д – присутна је десна половина фронталне кости без надочног лука, фрагменти обе паријеталне и окципитална кост.

Лобања Е – пристан фрагмент леве половине фронталне кости, фрагмент десне паријеталне и фрагментована окципитална кост.

Лобања Ф – присутан фрагмент десне фронталне кости и фрагмент леве паријеталне кости.

Поред наведених лобања присутно је и више костију које није било могуће одредити.

Присутне кости – пет фронталних костију (фраг.), шест темпоралних костију, једна максила, пет мандибула, зуби (5 инцисива, 3 канина).

Остали остеолошки материјал представљале су кости посткранијалног дела скелета које ће овде бити наведене сумарно онако како су могле да се опделе.

Присутне кости посткранијалног дела скелета – четири десна и два лева хумеруса, три десне и две леве улне, два десна и два лева радијуса,

два торакална пршљена, два лумбална пршљена, три десна карлична крила (која по својим карактеристикама одговарају индивидуама мушког пола), три леве и две десна пателе, три десна и шест левих фемура, три десне и четири леве тибије, једна десна и једна лева фибула, два лева калканеуса и тарзалне и метатарзалне кости.

Уз хумани остеолошки материјал један број костију чиниле су и кости животињског порекла.

Закључна разматрања¹⁶

Полну припадност било је могуће утврдити за седам индивидуа (гробови бр. 3, 5, 6, 7, 8, 9, и 12). Све оне биле су мушког пола. Индивидуалну старост било је могуће утврдити за пет индивидуа (гробови бр. 5, 6, 8, 9 и 12). Занимљиво је да све особе припадају приближно истој старосној категорији, тачније распон доживљених година старости износи између 35 и 50 година. Просечан животни век ових индивидуа износи 40,4 година. На основу овако малог броја узорака тешко се може стећи поузданија слика о палеодемографском профилу ове популације.

Телесну висину индивидуа било је могуће одредити у седам случајева (гробови бр. 3, 5, 6, 7, 8, 9 и 12). На основу хумеруса било је могуће одредити телесни раст у четири случаја (гробови 5, 6, 8 и 9). Средња вредност телесног раста ових индивидуа на основу хумеруса износи $177,37 \pm 4,57$ цм . На основу радијуса било је могуће одредити телесни раст у пет случајева (гробови 3, 5, 8, 9 и 12). Средња вредност телесног раста ових индивидуа на основу радијуса износи $175,08 \pm 4,66$ цм. На основу улне било је могуће одредити телесни раст у пет случајева (гробови 3, 5, 6, 8 и 9). Средња вредност телесног раста ових индивидуа на основу улне износи $180,83 \pm 4,72$ цм . На основу улне било је могуће одредити телесни раст у пет случајева (гробови 3, 5, 6, 8 и 9). Средња вредност телесног раста ових индивидуа на основу улне износи $180,83 \pm 4,72$ цм. На основу фемура било је могуће одредити телесни раст у седам случајева (гробови 3, 5, 6, 7, 8, 9 и 12). Средња вредност телесног раста ових индивидуа на основу фемура износи $179,00 \pm 3,94$ цм.

Од епигенетских карактеристика на кранијалном делу скелета уочене су појаве: метопизам (гроб бр. 5), *foramen mastoideum* билатерално (гробови бр.5, 8 и 9), *foramen parietale* билатерално (гробови бр.6, 7 и 8).

¹⁶ Табеларни приказ резултата дат је у прилогу на крају текста.

Анализом зуба биле су обухваћене индивидуе из гробова бр. 3, 5, 6, 8, 9 и 12. Код пет индивидуа максиле и мандибуле нису биле присутне у остеолошком материјалу (бр. 2, 4, 7, 10 и 11). Код једне индивидуе било је могуће анализирати само зубе на мандибули (бр. 5). Уочена је појава абразије (бр. 6, 9, 12), каменца (бр. 3, 5), парадонтопатије (бр. 3, 9), док је присуство каријеса уочено код већине индивидуа (бр. 3, 6, 8, 9 и 12).

Највећи број уочених патолошких промена односи се на болести зглобова, и то углавном у виду остеоартритичних промена на пршљеновима и на карличном појасу (бр. 3, 5, 6а, 8, 9, 12). Код једне индивидуе констатована је појава *cribra orbitaliae* (бр. 8), остеомијелитичне промене на тибији и фибули (бр. 10)

Чињеница да су се сви покојници налазили испод пода цркве, па самим тим не представљају уобичајени палеодемографски узорак, као и да ископавања ван цркве, у порти нису рађена, условљава нас да добијене резултате разматрамо са крајњим опрезом. Резултати добијени антрополошком анализом показују релативно кратак животни век особа сахрањених у Манастирку. На лоше услове живота пре свега указује велики проценат патолошких промена на зглобовима који јасно указују на тешке услове и живота и рада. Велику препреку јаснијем дефинисању профила ове популације представљају тафономски услови на самом локалитету, који су веома лоши, па није било могуће у свим случајевима у потпуности посматрати коштани материјал. На лоше услове живота указује и лош стоматолошки профил ове популације код које је констатован велики степен појаве каријеса парадонтопатије и зубног каменца.

Етничку припадност ових индивидуа није могуће одгонетнути овом анализом, обзиром на то да су у потпуности сачуване само две лобање. Даљим истраживањима на локалитету Манастирак, тачније у порти манастира добило би се више података који би употпунили слику добијену овом анализом. Уз то и чињеницу да је материјал сачуван и самим тим доступан за даље анализе остаје могућност да се добију додатне информације о животу ове популације.

АНТРОПОЛОШКА АНАЛИЗА СКЕЛЕТНИХ ОСТАТАКА...

Табела 1. Полна припадност и индивидуална старост

БРОЈ ГРОБА	ПОЛ	ИНДИВИДУАЛНА СТАРОСТ
ГРОБ БР. 3	Индивидуа мушког пола	Није било могуће утврдити
ГРОБ БР. 5	Индивидуа мушког пола	око 45
ГРОБ БР. 6А	Индивидуа мушког пола	30-40 год
ГРОБ БР. 7	Индивидуа мушког пола	Није било могуће утврдити
ГРОБ БР. 8	Индивидуа мушког пола	око 40
ГРОБ БР. 9	Индивидуа мушког пола	40-50 год
ГРОБ БР. 12	Индивидуа мушког пола	35-40 год

Табела 2. Телесни раст индивидуа

БРОЈ ГРОБА	На основу хумеруса ±4,57	На основу радијуса ±4,66	На основу улне ±4,73	На основу фемура ±3,94	На основу тибије ±4,00
БР. 3	-	174,93	179,70	178,05	-
БР. 5	180,69	174,17	176,69	180,60	-
БР. 6А	179,25	-	185,72	184,31	-
БР. 7	-	-	-	175,49	-
БР. 8	175,49	178,34	180,08	179,44	-
БР. 9	174,05	177,58	181,96	179,91	-
БР. 12	-	170,38	-	175,26	172,68

Табела 3. Мере на кранијалном делу скелета

Кранијални скелет	Број 5	Број 8	Број 9	Број 12
Примарне лобањске мере				
Максимална дужина лобање	-	18.2	19.4	-
Максимална ширина лобање	15.4	14.8	15.0	-
Висина лобање	-	-	13.9	-
Минимална ширина чела	11.4	9.8	10.8	-
Максимална ширина чела	11.6	10.5	11.6	-
Скелет лица				
Укупна висина лица	-	-		-
Висина горњег дела лица	-	-	7.4	-
Бизигоматична ширина	-	-	13.2	-
нос				
Назална висина	-	-	4.9	-
Назална ширина	-	-	3.0	-
орбите				
Ширина орбите	-	-	4.4	-
Висина орбите	-	-	3.4	-
непце				
Максилоалвеоларна дужина	-	-	5.3	-
Максилоалвеоларна ширина	-	-	6.4	-
мандибула				
Висина тела мандибуле	3.4	3.3	3.6	3.2
Дебљина тела мандибуле	1.2	1.3	1.2	1.0
Бигонијална ширина	11.1	-	11.0	-
Бикондиларна ширина	-	12.4	-	-
Минимална ширина гране мандибуле	3.2	3.1	3.1	3.1
Максимална ширина гране мандибуле	-	4.3	3.9	4.4
Максимална висина гране мандибуле	-	7.3	6.6	5.9
Дужина мандибуле	7.2	6.8	8.3	7.9

АНТРОПОЛОШКА АНАЛИЗА СКЕЛЕТНИХ ОСТАТАКА...

Табела 4. Индекси на кранијалном делу скелета

Кранијални индекси	Број 5	Број 8	Број 9	Број 12
Кранијални индекс	-	81.31 брахикрана	77.31 мезокрана	-
Висинско дужински индекс	-	-	71.64 ортокрана	-
Висинско ширински индекс	-	-	92.66 метриокрана	-
Фронтотаријетални индекс	-	66.21 метриометопична	72.00 еуриметопична	-
средњивисински	-	-	80.81 мезоземична	-
Фацијални индекс	-	-	-	-
Горњофацијални индекс	-	-	56.06 лептена	-
Назални индекс	-	-	61.22 платирина	-
Орбитални индекс	-	-	77.27 мезоконичну	-
Максилоалвеоларни индекс	-	-	120.75 брахиурана	-
Индекс робустицитета мандибуле	35.29	39.39	33.33	31.35
Индекс гране мандибуле	-	-	-	-
Фронтотомандибуларни индекс	102.70 мезомандибуларна	-	-	-

Табела 5. Мере на посткранијалном делу скелета

Посткранијални скелет	Гроб 2	Гроб 3	Гроб 4	Гроб 5	Гроб 6А	Гроб 7	Гроб 8	Гроб 9	Гроб 10	Гроб 11	Гроб 12
клавикула											
максимална дужина	-	-	-	15.0	-	-	15.5	14.7	-	-	-
Ант-пост дијаметар средине тела	-	-	-	1.1	1.1	-	1.3	1.3	-	-	1.1
Суп-инф дијаметар средине тела	-	-	-	1.4	1.6	-	1.5	1.2	--	-	1.1
скапула											
висина	-	-	-	-	-	-	-	-	-	-	-
ширина	-	-	-	-	-	-	-	-	-	-	-
хумерус											
Максимална дужина	-	-	-	34.2	35.0	-	33.7	33.2	-	-	-
Епикондиларна ширина	-	-	-	6.4	6.9	-	6.5	7.1	-	-	5.9
Вертикални дијаметар главе	-	-	-	5.1	-	-	4.9	4.7	-	-	5.0
Макс дијаметар сред. тела	-	2.3	-	2.5	2.5	2.2	2.3	2.5	-	-	2.2
Мин. Дијаметар сред. тела	-	1.7	-	2.2	2.2	1.8	1.9	2.2	-	-	1.8
радијус											
Максимална дужина	-	25.2	-	25.0	-	-	26.1	25.9	-	-	24.0
Ант-пост дијаметар средине тела	-	1.3	-	1.4	1.4	1.2	1.3	1.4	-	-	1.1
Мед-лат дијаметар средине тела	-	1.6	-	1.7	1.5	1.8	1.7	1.7	--	-	1.5
улна											
Максимална дужина	-	27.7	-	26.9	29.3	-	27.8	28.3	-	-	-
Ант-пост дијаметар	-	1.4	-	1.8	1.5	1.8	1.3	1.4	-	-	1.3
Мед-лат дијаметар	-	1.9	-	1.5	1.3	1.3	1.7	1.9	-	-	1.8

АНТРОПОЛОШКА АНАЛИЗА СКЕЛЕТНИХ ОСТАТАКА...

Физиолошка дужина	-	24.8	-	23.9	26.6	-	25.1	25.7	-	-	-
Минимални обим тела	-	3.6	-	3.8	4.5	4.2	4.1	3.9	-	-	-
сакрум											
Макс. Антерирна висина	-	-	-	-	-	-	11.3	13.5	-	-	11.1
Макс. Антериорна ширина	-	11.6	-	11.8	-	-	12.0	12.4	-	-	-
Макс. Транс. Дијаметар базе	-	5.7	-	4.9	5.5	-	5.1	5.9	-	-	4.8
фемур											
Максимална дужина	-	48.5	-	49.6	51.2	47.4	49.1	49.3	-	-	47.3
Бикондиларна дужина	-	48.1	-	49.2	50.6	46.6	48.5	48.9	-	-	47.0
Епикондиларна ширина	-	-	-	8.7	9.1	-	8.6	8.4	-	-	8.4
Максимални дијаметар главе	-	5.1	-	5.2	5.5	5.0	4.9	5.0	-	-	5.1
Ант-пос дијаметар у нивоу трохантера	-	2.5	-	3.0	3.4	3.0	3.0	3.2	-	-	2.9
Мед-лат дијаметар у нивоу трохантера	-	3.3	-	3.7	3.4	3.2	3.4	3.7	-	-	3.6
Ант-пос дијаметар средине тела	-	3.0	-	3.2	3.3	3.0	3.2	3.4	-	-	2.9
Мед-лат дијаметар средине тела	-	2.8	-	3.0	3.1	2.6	2.8	3.0	-	-	2.9
Обим средине тела	-	9.1	-	9.6	10.1	8.8	9.4	10.1	-	-	9.4
тибија											
дужина	-	-	-	-	-	-	-	-	-	45.3	37.5
Макс ширина прокс епифизе	-	-	-	7.9	-	-	-	-	-	-	-
Макс ширина дистал епифизе	-	-	-	-	-	-	-	-	-	5.4	5.4
Макс дијаметар у нивоу нутритивног отвора	-	3.6	-	3.9	-	3.5	-	-	-	3.5	3.8
Мед лат дијаметар у нивоу нутритивног отвора	-	2.3	-	2.8	-	2.6	-	-	-	2.7	2.5
Обим у нивоу нутритивног отвора	-	9.3	-	10.2	-	10.0	-	-	-	9.7	9.9
фибула											
Максимална дужина	-	-	-	-	-	-	-	-	-	-	-
Ширина средине тела	-	-	-	1.8	-	-	-	-	-	1.6	1.6

Табела 6. Индекси на посткранијалном делу скелета

Кнемички индекс	Пиластрични индекс	Индекс робустицитета фемура	Платимерични индекс	Калибер индекс улне	Индекс попречног пресека	Посткранијални индекси
-	-	-	-	-	-	Број 2
63,88 Мезокнеми	107,14	12,05	75,75 Платимер	14,51	73,91	Број3
-	-	-	-	-	-	Број4
71,79	106,66	13,61	81,08 Платимер	-	88,00	Број5
-	106,45	13,43	100,00 Еуример-	-	88,00	Број6
74,28	115,38	13,08	93,75 Еуример	-	81,81	Број7
-	114,28	13,19	88,23 Еуример	-	82,60	Број8
-	113,33	14,11	86,48 Еуример	-	88,00	Број9
-	-	-	-	-	-	Број10
77,14 еурикнеми	-	-	-	-	-	Број11
65,79	100,00	13,83	80,55	-	81,81	Број12

Igor STOJIĆ

**ANTHROPOLOGICAL ANALYSIS OF THE SKELETAL REMAINS
FROM THE MANASTIRAK SITE NEAR REKOVAC**

Summary

The fact that all deceased were buried under the church floor, thus not representing the usual paleo-demographic sample, as well as that there were no excavations outside the church, in the churchyard, demands great caution with the results. The results obtained through anthropological analysis show a relatively short life of the people buried in Manastirak. Great number of pathological changes on ankles clearly points to hard living and working conditions. Very bad taphonomic conditions present a considerable obstacle to cleared defining of this population's profile, so it was not possible to entirely study all the skeletal remains. Bad stomatological profile of this population also point to hard living conditions, as a great degree of caries paradentopathy and dental calculus.

It is not possible to determine ethnicity of these individuals, as only two skulls have been preserved. Further research on the Manastirak site, that is to say, in the churchyard of the monastery, would provide more data, and complete the image obtained by this analysis. The fact that the material is preserved and thus available for further analyses provides possibilities for gaining more information about the life of this population.